• 基础研究 •

衰老心肌中Omi/HtrA2表达增加可促进心肌细胞自噬

徐海波¹,王 可¹,杜芸辉²,白克华¹,张苏丽¹,李 笑¹,刘 腾¹,马新亮^{1*},刘慧荣^{1,3*}

(首都医科大学生理与病理生理学教研室, 北京 100069; ²山东大学海洋学院海洋生物工程教研室, 威海 264209; ³山西医科大学生理学教研室, 太原 030001)

【摘 要】目的 探讨衰老心肌中增加的Omi/HtrA2在心肌细胞自噬中的作用。方法 用D-半乳糖干预胎鼠心肌细胞系H9c2建立衰老细胞模型, β -半乳糖苷酶染色观察细胞的衰老情况,cck8试剂盒检测细胞存活率,并以分析细胞乳酸脱氢酶(Lactic Dehydrogenase,LDH)水平反映其活性;给予Omi/HtrA2特异性抑制剂ucf-101降低Omi/HtrA2活性,构建稳转Omi/HtrA2的H9c2细胞株过表达Omi/HtrA2;采用western blot法测定心肌细胞中Omi/HtrA2、beclin1及LC3-Ⅱ蛋白的表达。结果 (1)与H9c2心肌细胞相比,D-半乳糖诱导的H9c2心肌细胞内 β -半乳糖苷酶染色阳性率显著升高[(87.7±3.6%) vs (18.3±2.8%),P<0.01];cck8结果显示,两组之间无显著性差异(P>0.05),但D-半乳糖诱导的H9c2心肌细胞中LDH活性明显升高(T-0.07±0.65 t-0.05。t-0.01。(2)与H9c2细胞相比,D-半乳糖诱导的H9c2心肌细胞中Omi/HtrA2蛋白表达升高(t-0.05),而beclin1表达下降(t-0.01)。(3)与H9c2细胞相比,过表达Omi/HtrA2的H9c2心肌细胞Omi/HtrA2蛋白表达增高,LC3-Ⅱ蛋白表达也增高(t-0.05);给予过表达Omi/HtrA2的H9c2心肌细胞ucf-101后,LC3-Ⅱ表达下降(t-0.05)。结论 衰老心肌细胞中Omi/HtrA2的表达增加可促进心肌细胞自噬。

【关键词】衰老; Omi/HtrA2; 自噬; 心肌细胞

【中图分类号】 R331.3+6

【 文献标识码 】 A

DOI 10.3724/SP.J.1264.2013.00014

Increased expression of Omi/HtrA2 promotes myocardial autophagy in aging myocardiocytes

XU Haibo¹, WANG Ke¹, DU Yunhui², BAI Kehua¹, ZHANG Suli¹, LI Xiao¹, LIU Teng¹, MA Xinliang^{1*}, LIU Huirong^{1,3*}

(¹Department of Physiology and Pathophysiology, Capital Medical University, Beijing 100069, China; ²Department of Marine Bioengineering, Marine College, Shandong University, Weihai 264209, China; ³Department of Physiology, Shanxi Medical University, Taiyuan 030001, China)

[Abstract] Objective To investigate the effects of increased expression of Omi/HtrA2 on myocardial autophagy in aging myocardiocytes. **Methods** The rat embryonic myocardial cell line H9c2 was induced by D-galactose (8g/L) to establish aging model. Cell aging was detected by β-galactosidase staining. Cell viability was detected by CCK8 kits and lactic dehydrogenase (LDH) activity analysis. Ucf-101, a specific inhibitor of Omi/HtrA2, was used to inhibit the activity of Omi/HtrA2, and the H9c2 cells with stable transfection of Omi/HtrA2 was constructed to increase the expression of Omi/HtrA2. The expression of Omi/HtrA2, beclin1 and LC3- II were detected by Western blotting. **Results** (1) D-galactose resulted in a significant increase in positive staining to β-galactosidase in the induced cardiacmyocytes than the H9c2 cells [(87.7 ± 3.60)% vs (918.3 ± 2.80)%, P < 0.01]. The cck8 results showed that there was no significant difference between the cells with and without D-galactose inducement (P > 0.05). LDH activity was increased in the induced H9c2 cells than those without (7.07 ± 0.65 vs 5.93 ± 3.36, P < 0.01). (2) The expression of Omi/HtrA2 was increased (P < 0.05), but the expression of Omi/HtrA2 was significantly decreased (P < 0.05), but the expression of Omi/HtrA2 was significantly decreased (P < 0.05), but the expression of

收稿日期: 2012-09-18; 修回日期: 2012-11-21

基金项目: 国家自然科学基金(No.81270283; No.30973163); 北京市属高等学校人才强教深化计划"学校创新团队建设计划"项目(PHR201106112)

通讯作者: 刘慧荣, Tel: 010-83911830, E-mail: liuhr2000@126.com; 马新亮, Tel: 010-83911862, E-mail: xinma2006@gmail.com

[Key words] aging; Omi/HtrA2; autophagy; cardiomyocytes

This work was supported by the National Natural Science Foundation of China (No.81270283; No.30973163) and the Project for Innovation Team Construction From Higher School Talents Education and Enhancement Plan of Beijing (PHR201106112).

衰老是机体随年龄改变而发生的所有现象的集中 体现。在衰老过程中,机体各组织器官的功能逐渐降低, 最终导致机体死亡。因此,可以把衰老定义为机体对内、 外环境改变的、年龄依赖性的易损性增加,而心脏的衰 老本身可明显增加心脏疾病发生的危险,但病因还不清 楚。研究表明, 生理情况下, 心脏存在低水平的自噬, 用于维持正常的心脏结构和功能[1];随着年龄的增长, 心肌细胞内自噬功能逐渐降低 [2,3]。而在一定程度上诱 导心肌细胞自噬,则可以明显改善衰老心脏功能,降低 心脏衰老标志物的生成,如β-半乳糖苷酶 (β-galactosidase, β-gal)^[4]。此外, LC3-Ⅱ是检测哺 乳动物自噬体激活公认的生物学标记物^[5,6],而Beclin1 是介导自噬的特异性基因,在自噬发生时起正调控作 用,是调控自噬的一个关键因子[7]。已知Omi是大肠埃 希氏杆菌热休克诱导蛋白HtrA的人类同源物,又称 Omi/HtrA2,属于丝氨酸蛋白水解酶家族^[8]。已有研究 发现,衰老大鼠心肌组织中Omi/HtrA2蛋白水平增加^[9], 自噬水平下降[10],然而这一现象不足以证实在衰老大 鼠心肌组织中表达增加的Omi/HtrA2与心肌细胞自噬 下降的因果关系。因此,本研究通过建立H9c2心肌细 胞衰老模型,分别下调和上调H9c2细胞中Omi/HtrA2 的水平, 观察心肌细胞自噬水平, 进而明确衰老心肌中 增加的Omi/HtrA2与心肌细胞自噬的关系。

1 材料与方法

1.1 材料

H9c2(2-1)大鼠胚胎心肌细胞系,由中国医学科学院基础医学研究所基础医学细胞中心提供。乳酸脱氢酶检测试剂盒(lactic dehydrogenase, LDH,瑞士Roche公司); 0.05%胰酶-EDTA(美国Invitrogen公司); D-半乳糖(D-galactose, D-gal, Sigma公司); β-半乳糖苷酶染色试剂盒(β-galactosidase Assay Kit, Cell Signaling公司); 胎牛血清(杭州四季青公司); Cell Counting Kit-8(CCK-8,日本同仁化学公司); 丝氨酸蛋白酶Omi/HtrA2一抗(High Temperature

Requirement, Cell Signaling公司); Omi/HtrA2的特异性抑制剂ucf-101(Merck公司); beta-actin一抗(β-actin,美国Santa Cruz公司); beclin1一抗(Cell Signaling公司); LC3-Ⅱ一抗(Cell Signaling公司); 山羊抗兔IgG/生物素标记、辣根酶标记链亲合素(北京中杉金桥公司); ChemiScope Mini系列化学发光成像系统(上海勤翔科学仪器有限公司)。

1.2 方法

1.2.1 实验分组 按照预实验结果选择各药物相应剂量和时间,将H9c2心肌细胞消化后得到的单细胞悬液,调节细胞密度至(5×10⁵~6×10⁵个/ml后,接种于6孔板中。实验分组:(1)H9c2心肌细胞对照组;(2)D-半乳糖干预衰老组:D-半乳糖(8g/L)诱导H9c2心肌细胞衰老组;(3)ucf-101组:10⁻⁵mol/Lucf-101作用组^[11];(4)H9c2心肌细胞Omi/HtrA2过表达组:利用慢病毒载体转染使H9c2细胞过表达Omi/HtrA2;H9c2诱导衰老实验处理时间为5d,其余指标为72h,各处理组n值均为6。

1.2.2 β-半乳糖苷酶染色 β-半乳糖苷酶染色参考试 剂盒说明书操作步骤,光学显微镜下观察H9c2细胞的 染色情况,并计算β-半乳糖苷酶阳性细胞的个数。

1.2.3 cck-8法检测H9c2存活率 将H9c2细胞以每 孔5×10³个接种于96孔培养板,待生长至单层融合后,加用不同药物处理72h。更换新鲜的培养基后,每孔加入cck-8试剂10μl,继续培养4h;用酶标仪测定450nm波长各孔吸光度(OD)值。细胞存活率 = 处理组细胞OD值/正常对照组细胞OD值×100%。

1.2.4 LDH活性测定 将H9c2细胞以每孔3×10⁴ 个接种于24孔培养板, 待生长至80%~90%融合后, 加用不同药物处理72h。吸取上清液,参照 Korzeniewski等^[12]的方法,用分光光度仪测定各孔 OD值,计算LDH活性。

1.2.5 Western blot检测Omi/HtrA2、beclin1和LC3-Ⅱ 表达 将H9c2细胞以每孔10⁵个接种于6孔培养板,待 生长至80%~90%融合后,加用不同药物处理72h。加 人细胞裂解液冰上裂解15min,12000r/min离心10min, 收集细胞裂解物,BCA法蛋白定量。取各组样品蛋白 100μg进行SDS-PAGE电泳,然后电转移至硝酸纤维膜上,5%脱脂奶粉室温封闭1h;用含Tween-20的Tris缓冲盐溶液(TBST)洗膜10min×3次;分别加以下一抗:Omi/HtrA2(1:1000稀释)、beclin1(1:1000稀释)、LC3- II(1:1000稀释)、 β -actin(1:1000稀释)4℃过夜;TBST洗膜10min×3次,再与生物素标记的二抗孵育1h,TBST洗膜10min×3次,与辣根酶标记链霉卵白素孵育1h,TBST洗膜10min×3次,与辣根酶标记链霉卵白素孵育1h,TBST洗膜10min×3次,ChemiScope发光成像。

1.3 统计学处理

数据以均数 ± 标准差(\bar{x} ±s)表示,采用 SPSS13.0软件进行统计学分析,多组间比较单因素 方差分析(one-way ANOVA),两组之间采用t检验。以P<0.05为差异有统计学意义。

2 结 果

2.1 建立衰老H9c2心肌细胞模型

2.1.1 H9c2心肌细胞衰老模型鉴定 各组细胞分别 进行β-半乳糖苷酶染色,结果显示:与H9c2心肌细胞 对照组比较,D-半乳糖干预衰老组β-半乳糖苷酶染色 阳性率显著升高[(87.7% ± 3.6%) vs (18.3% ± 2.8%), P < 0.01; 图1]。

2.1.2 D-半乳糖对H9c2心肌细胞存活率和LDH活性的影响 cck8和LDH检测结果显示:与H9c2心肌细胞对照组比较,D-半乳糖干预衰老组细胞存活率略有上升,与H9c2心肌细胞对照组相比差异无统计学意义[(116.58% \pm 12.95%) vs (100.00% \pm 6.81%); P > 0.05],但LDH活性则显著升高[(7.07 \pm 0.65) vs (5.93 \pm 0.34), P < 0.01]。

2.2 衰老H9c2心肌细胞Omi/HtrA2表达增加, beclin1表达下降

利用Western blot 方法测定细胞中Omi/HtrA2和beclin1蛋白的表达,结果显示:与H9c2心肌细胞相比,衰老的H9c2心肌细胞Omi/HtrA2表达显著升高,而beclin1表达下降(P < 0.05;图2)。给予Omi/HtrA2特异性抑制剂ucf-101之后,与衰老H9c2细胞比较,beclin1表达进一步下降,差异有统计学意义(P < 0.05;图2)。

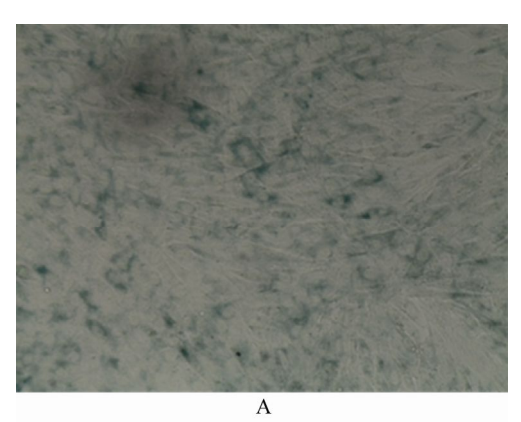
2.3 H9c2细胞过表达Omi/HtrA2, 自噬水平上升 利用western blot方法测定细胞中Omi/HtrA2和

比,慢病毒稳转H9c2细胞中Omi/HtrA2及LC3- II 蛋白水平均显著升高(P < 0.05;图3);给予ucf-101抑制Omi/HtrA2后,LC3- II 蛋白表达下降,两组相比,差异具有统计学意义(P < 0.05;图3)。

LC3-Ⅱ蛋白的表达,结果显示:与H9c2心肌细胞相

3 讨 论

衰老是一系列复杂生理及病理生理变化的过程,心脏衰老是心血管系统及其它器官衰老相关变化的集中体现,随着衰老的进程,这些病理改变均是各种衰老心脏疾病的病理基础。已有文献报道,细胞自噬水平下调是衰老心脏功能下降的重要原因,当自噬缺陷或自噬下降时,细胞通过自噬降解消化受损、变性、衰老和失去功能的细胞、细胞器和变性生物大分子的能力下降,因此不能维持正常的心脏结构和功能[1]。而在很多病理情况下,都有明显的自噬活动的增加,过多的自噬导致心肌细胞发生自噬性细胞死亡,加重心脏的损伤[10,13,14]。Beclin1基因也称BECN1基因,是酵母ATG6的同系物,也是哺乳动物参与自噬的特异性基因,而上调beclin1蛋白在哺乳动物细胞中的表达能够刺激自噬的发生[7,15]。目前所知丝氨酸蛋白酶Omi



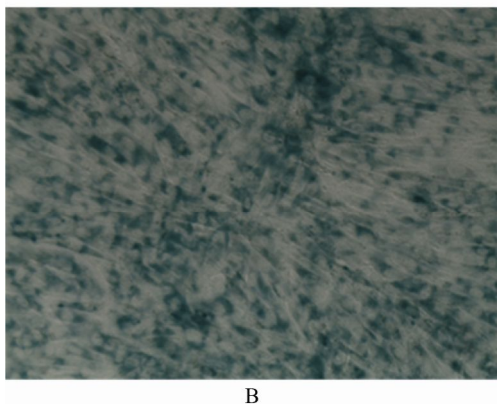


图1 H9c2心肌细胞β-半乳糖苷酶染色鉴定结果
Figure 1 β-galactosidase staining of H9c2 myocardiocytes (×100)
A: H9c2心肌细胞对照组; B: D-半乳糖干预衰老组

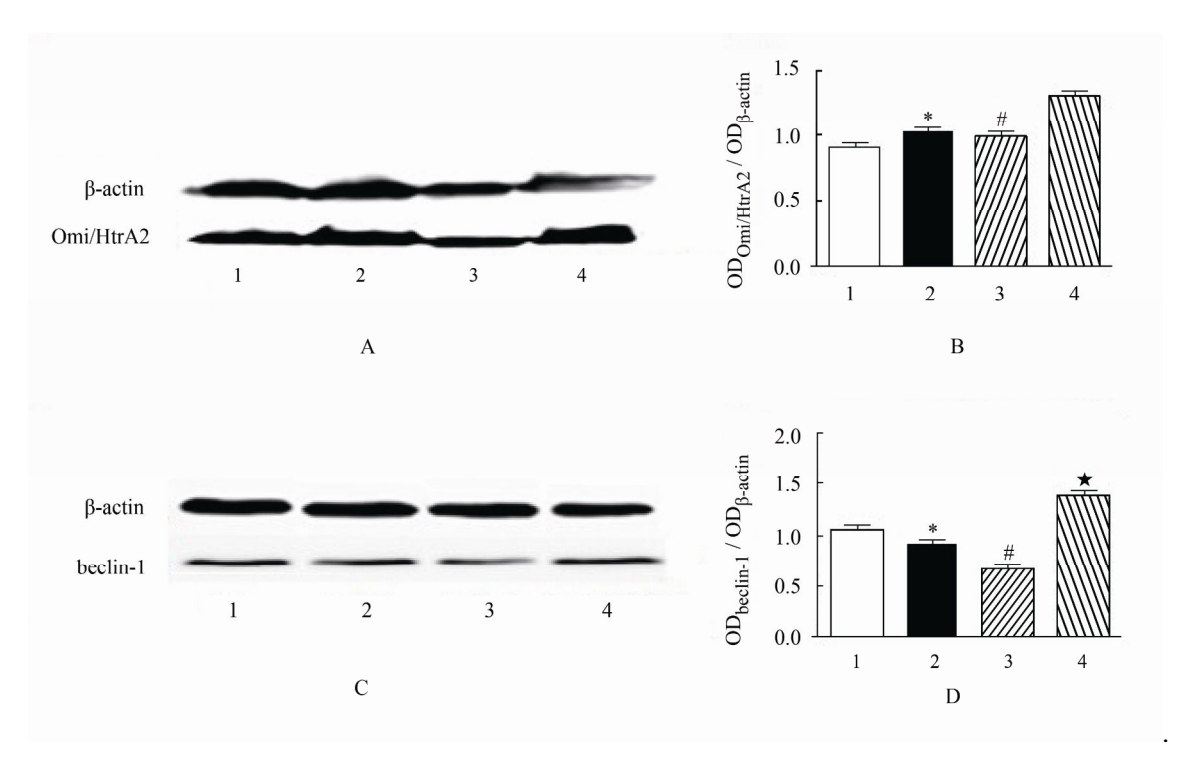


图2 Omi/HtrA2和beclin1在H9c2心肌细胞中的表达

Figure 2 Expression of Omi/HtrA2 and beclin1 in H9c2 myocardiocytes 老组; 3: ucf-101组; 4: Omi/HtrA2过表达组; A, C: Western blot结果; B, D: 灰度扫描分析结果。

1: 对照组; 2: D-半乳糖干预衰老组; 3: ucf-101组; 4: Omi/HtrA2过表达组; A, C: Western blot结果; B, D: 灰度扫描分析结果。与对照组比较, *P<0.05; 与D-半乳糖干预衰老组比较, *P<0.05

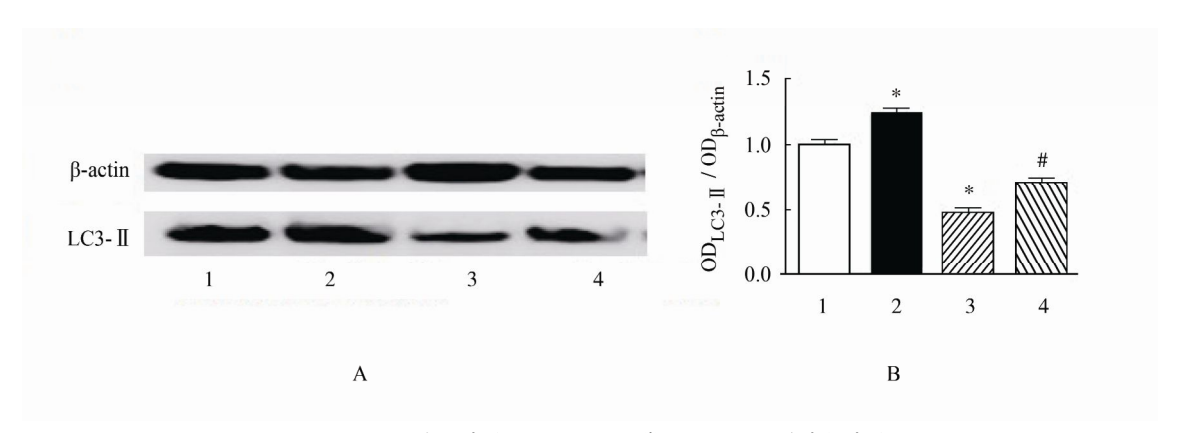


图3 LC3-II 在过表达Omi/HtrA2正常H9c2心肌细胞中的表达

与对照组比较, *P<0.05; 与Omi/HtrA2过表达组比较, *P<0.05

Figure 3 Expression of LC3- II in over expressed Omi/HtrA2 H9c2 myocardiocytes
1: 对照组; 2: Omi/HtrA2过表达组; 3: ucf-101作用的对照组; 4: ucf-101作用的Omi/HtrA2过表达组; A: Western blot结果; B: 灰度扫描分析结果。

(又称HtrA2)是一个主要定位于真核生物线粒体的 丝氨酸蛋白酶,隶属于HtrA(High Temperature Requirement)家族,具有修复、降解线粒体中折叠错 误的蛋白质的作用^[8]。研究发现Omi/HtrA2功能缺失动 物表现出剧烈的神经退行性病变症状^[16],与自噬基因 (Atg5/Atg7)神经元条件性敲除的小鼠的性状有高度 的相似。本研究结果显示:与H9c2心肌细胞对照组比 较,D-半乳糖干预衰老组β-半乳糖苷酶染色阳性率显 著升高,表明衰老细胞模型建立成功。与H9c2心肌细 胞比较,D-半乳糖干预衰老组细胞中Omi/HtrA2蛋白表达增高,beclin1表达下降,这与文献报道的结果一致;但给予D-半乳糖干预衰老组细胞Omi/HtrA2的特异性抑制剂ucf-101后,衰老细胞中Omi/HtrA2蛋白表达明显下降,而beclin1表达进一步下降。但beclin1表达进一步下降的机制并不十分清楚,可能原因是自噬水平下降,或Omi/HtrA2蛋白表达下降^[17]。

目前已知LC3是哺乳动物细胞中酵母ATG8(Aut7/Apg8)基因的同源物,定位于前自噬泡和自

噬泡膜表面,参与自噬体的形成。LC3有两种分子 存在形式,即LC3-I和LC3-Ⅱ。未发生自噬时,细胞 内合成的LC3经过加工,成为胞质可溶性的 I 型 LC3, 常规表达。当自体吞噬发生时, I型LC3经泛 素样加工修饰过程,与自噬膜表面的磷脂酰乙醇胺 结合,形成Ⅱ型。LC3-Ⅱ始终位于自噬体膜上,使 之成为自噬体的标志分子, 当自噬体与溶酶体融合, 自噬体内的LC3-Ⅱ即被溶酶体中的水解酶降解。因 此,LC3-Ⅱ含量的多少与自噬泡数量的多少成正比, 是细胞自噬体膜的通用标记物[18]。在免疫印记试验 中, LC3-Ⅱ 较LC3-I更加敏感。因此LC3-Ⅱ 与β-actin 的比值被认为是自噬的精确指标[6]。研究发现 Omi/HtrA2在胚胎成纤维细胞及非神经组织自噬的 调控过程中发挥了重要的作用,Omi/HtrA2可以促进 细胞自噬的发生[17,19]。本研究结果显示:与H9c2心 肌细胞比较,慢病毒稳转H9c2细胞中Omi/HtrA2表 达升高, LC3-Ⅱ表达升高, 即自噬水平升高; 给予 Omi/HtrA2的特异性抑制剂ucf-101后, LC3-Ⅱ蛋白 表达下降,自噬水平下降,直接证实Omi/HtrA2促进 了H9c2心肌细胞自噬。

综上所述,在衰老心肌细胞中Omi/HtrA2表达增加,自噬水平下降;给予Omi/HtrA2的特异性抑制剂ucf-101后,衰老心肌细胞自噬水平进一步下降;H9c2心肌细胞过表达Omi/HtrA2,自噬水平上升,给予Omi/HtrA2的特异性抑制剂ucf-101后,自噬水平下降。以上提示衰老心肌中增加的Omi/HtrA2对细胞自噬具有促进作用。这将加深对衰老心肌细胞自噬机制的理解,延缓心肌衰老提供新的实验依据。

【参考文献】

- [1] De Meyer GRY, Martinet W. Autophagy in the cardiovascular system[J]. Biochem Biophys Acta, 2009, 1793(9): 1485-1495.
- [2] Terman A, Brunk UT. Autophagy in cardiac myocyte homeostasis aging, and pathology[J]. Cardiovas Res, 2005, 68(3): 355-365.
- [3] Cuervo A M. Autophagy and aging: keeping that old broom working[J]. Trends Genet, 2008, 24(12): 604-612.
- [4] Inuzuka Y, Okuda J, Kawashima T, et al. Suppression of phosphoinositide 3-kinase prevents cardiac aging in mice[J]. Circulation, 2009, 120(17): 1695-1703.
- [5] Mizushima N. Methods for monitoring autophagy[J]. Int J Biochem Cell Biol, 2004, 36(12): 2491-2502.

- [6] Kabeya Y, Mizushima N, Ueno T, et al. LC3, a mammalian homologue of yeast Apg8p, is localized in autophagosome membranes after processing[J]. EMBO, 2000, 19(21): 5720-5728.
- [7] Liang XH, Jackson S, Seaman M, et al. Induction of autophagy and inhibition of tumorigenesis by beclin 1[J]. Nature, 1999, 402(6762): 672-676.
- [8] Vande Walle L, Lamkanfi M, Vandenabeele P, et al. The mitochondrial serine protease HtrA2/Omi: an overview[J]. Cell Death Differ, 2008, 15(3): 453-460.
- [9] Wang K, Zhang J, Liu J, et al. Variations in the protein level of Omi/HtrA2 in the heart of aged rats may contribute to the increased susceptibility of cardiomyocytes to ischemia/reperfusion injury and cell death: Omi/HtrA2 and aged heart injury[J]. Age, 2012, 10. 1007/s11357-012-9 406-x.
- [10] De Meyer GR, De Keulenaer GW, Martinet W. Role of autophagy in heart failure associated with aging[J]. Heart Fail Rev, 2010, 15(5): 423-430.
- [11] Liu Q, Liu L, Lu Y, et al. The induction of reactive oxygen species and loss of mitochondrial Omi/HtrA2 is associated with S-nitrosoglutathione-induced apoptosis in human endothelial cells[J]. Toxicol Applied Pharmacol, 2010, 224(3): 374-384.
- [12] Korzeniewski C, Callewaert DM. An enzyme-release assay for natural cytotoxicity[J]. Imm Methods, 1983, 64(3): 313-320.
- [13] Xiao R, Teng M, Zhang Q, *et al*. Myocardial autophagy after severe burn in rats[J]. PLos One, 2012, 7(6): e39488.
- [14] Rifki OF, Hill JA. Cardiac autophagy: good with the bad[J]. Cardiovasc Pharmacol, 2012, 60(3): 248-252.
- [15] Kihara A, Kabeya Y, Ohsumi Y, et al. Beclin-phosphatidylinositol 3-kinase complex functions at the trans-Golgi network[J]. EMBO, 2001, 2(4): 330-335.
- [16] Hara T, Nakamura K, Matsui M, et al. Suppression of basal autophagy in neural cells cause neuro-degenerative disease in mice[J]. Nature, 2006, 441(7095): 885-889.
- [17] Li B, Hu Q, Wang H, *et al.* Omi/HtrA2 is a positive regulator of autophagy that facilitates the degradation of mutant proteins involved in neurodegenerative disease[J]. Cell Death Differ, 2010, 17(11): 1773-1784.
- [18] Levine B, Yuan J. Autophagy in cell death: an innocent convict[J]? Clin Invest 2005, 115(10): 2679-2688.
- [19] Kang S, Louboutin JP, Datta P, et al. Loss of HtrA2/Omi activity in non-neuronal tissues of adult mice causes premature aging[J]. Cell Death Differ, 2012, 10.1038/cdd. 2012. 117.

(编辑: 王雪萍)